

DDS 架构基本原理

随着数字技术在仪器仪表和通信系统中的广泛使用，可从参考频率源产生多个频率的数字控制方法诞生了，即直接数字频率合成(DDS)。其基本架构如图 1 所示。该简化模型采用一个稳定时钟来驱动存储正弦波(或其它任意波形)一个或多个整数周期的可编程只读存储器(PROM)。随着地址计数器逐步执行每个存储器位置，每个位置相应的信号数字幅度会驱动 DAC，进而产生模拟输出信号。最终模拟输出信号的频谱纯度主要取决于 DAC。相位噪声主要来自参考时钟。

DDS 是一种采样数据系统，因此必须考虑所有与采样相关的问题，包括量化噪声、混叠、滤波等。例如，DAC 输出频率的高阶谐波会折回奈奎斯特带宽，因而不可滤波，而基于 PLL 的合成器的高阶谐波则可以滤波。此外，还有其它几种因素需要考虑，稍后将会讨论。

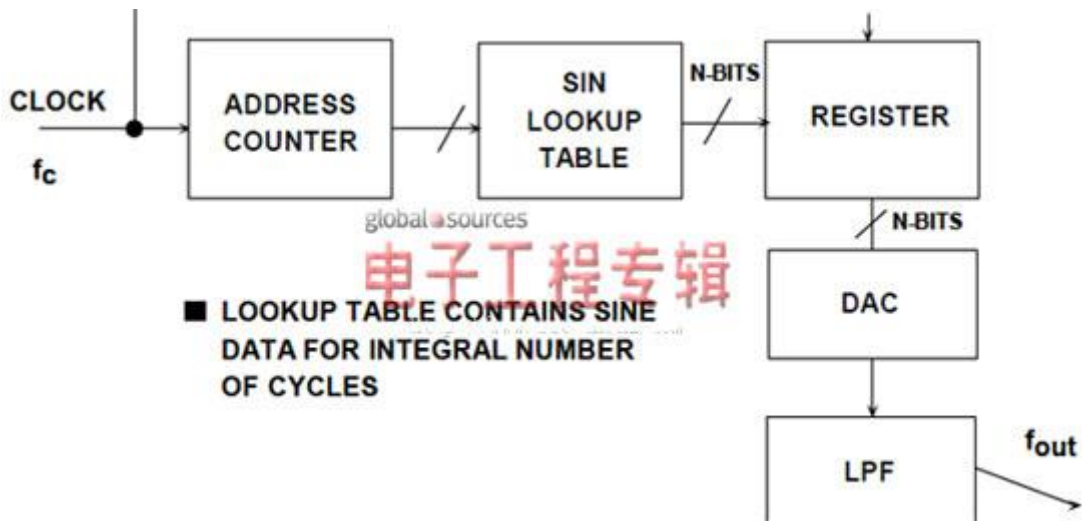


图 1：直接数字频率合成系统的基本原理

这种简单 DDS 系统的基本问题在于，最终输出频率只能通过改变参考时钟频率或对 PROM 重新编程来实现，非常不灵活。实际 DDS 系统采用更加灵活有效的方式来实现这一功能，即采用名为数控振荡器(NCO)的数字硬件。图 2 所示为该系统的框图。

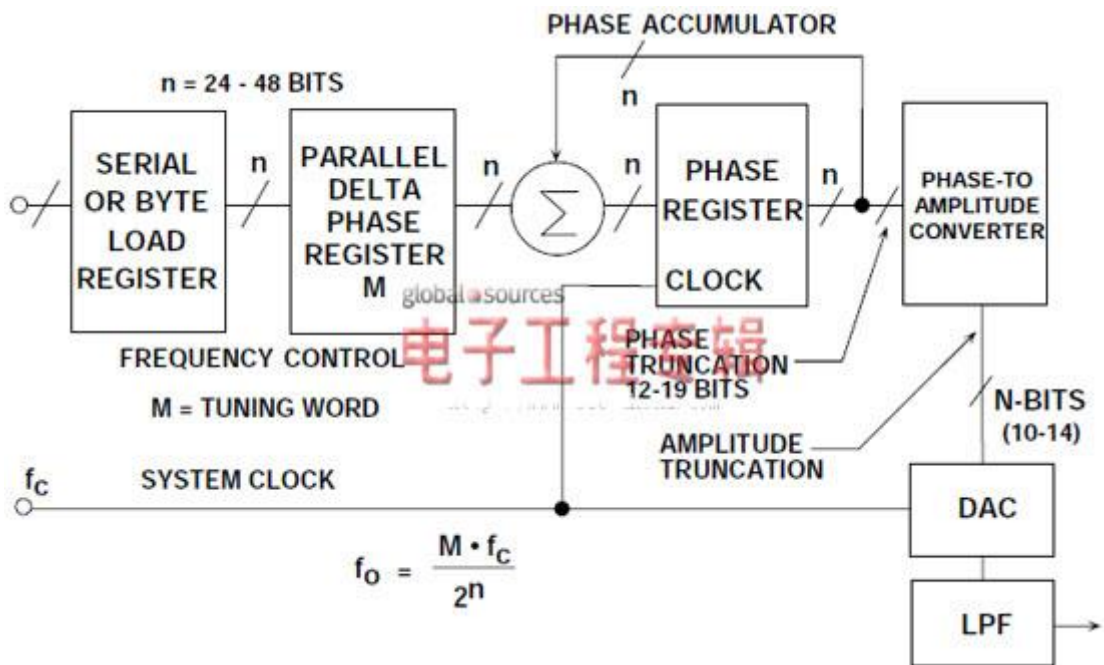


图 2：灵活的 DDS 系统

系统的核心是相位累加器，其内容会在每个时钟周期更新。相位累加器每次更新时，存储在[△]相位寄存器中的数字字 M 就会累加至相位寄存器中的数字。假设[△]相位寄存器中的数字为 00...01，相位累加器中的初始内容为 00...00。相位累加器每个时钟周期都会按 00...01 更新。如果累加器为 32 位宽，则在相位累加器返回至 00...00 前需要 2³²(超过 40 亿)个时钟周期，周期会不断重复。

相位累加器的截断输出用作正弦(或余弦)查找表的地址。查找表中的每个地址均对应正弦波的从 0° 到 360° 的一个相位点。查找表包括一个完整正弦波周期的相应数字幅度信息。(实际上，只需要 90° 的数据，因为两个 MSB 中包含了正交数据)。因此，查找表可将相位累加器的相位信息映射至数字幅度字，进而驱动 DAC。图 3 用图形化的“相位轮”显示了这一情况。

考虑 $n = 32$, $M = 1$ 的情况。相位累加器会逐步执行 2^{32} 个可能的输出中的每一个，直至溢出并重新开始。相应的输出正弦波频率等于输入时钟频率 2^{32} 分频。若 $M=2$ ，相位累加器寄存器就会以两倍的速度“滚动”计算，输出频率也会增加一倍。以上内容可总结如下：

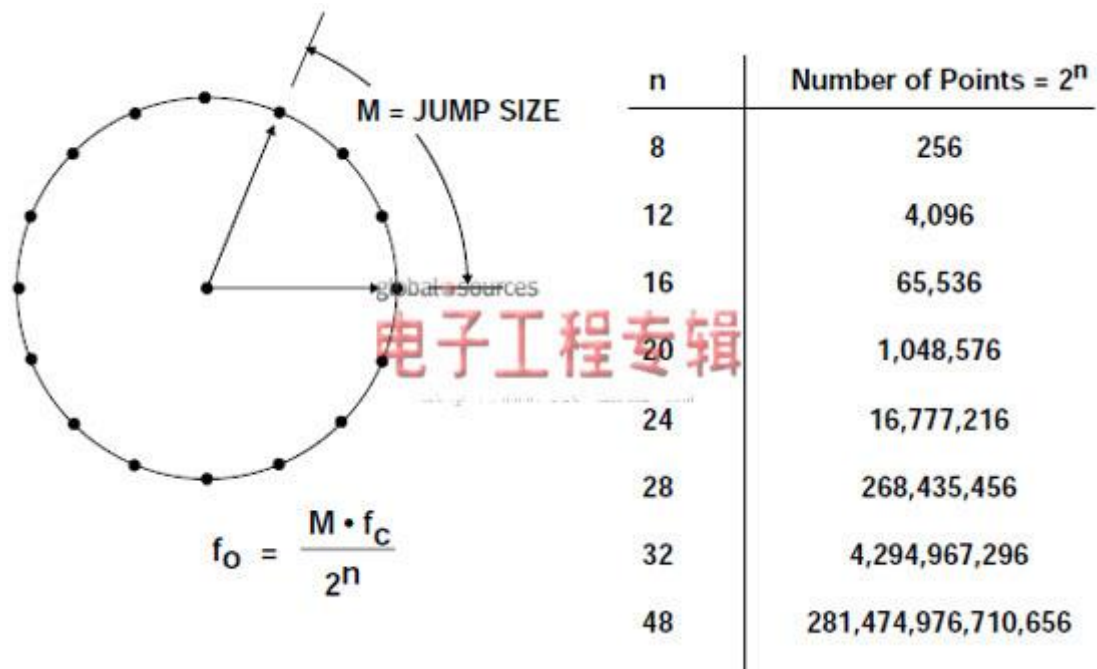


图 3：数字相位轮

n 位相位累加器(大多数 DDS 系统中， n 的范围通常为 24 至 32)存在 2^n 个可能的相位点。 \triangle
相位寄存器中的数字字 M 代表相位累加器每个时钟周期增加的数量。如果时钟频率为 f_c ，则输出正弦波频率计算公式为：

$$f_o = \frac{M \cdot f_c}{2^n} \quad \text{公式 1}$$

该公式称为 DDS “调谐公式”。注意，系统的频率分辨率等于 $f_c/2^n$ 。 $n = 32$ 时，分辨率超过 40 亿分之一！在实际 DDS 系统中，溢出相位寄存器的位不会进入查找表，而是会被截断，只留下前 13 至 15 个 MSB。这样可以减小查找表的大小，而且不会影响频率分辨率。相位截断只会给最终输出增加少量可接受的相位噪声。(参见图 4)。

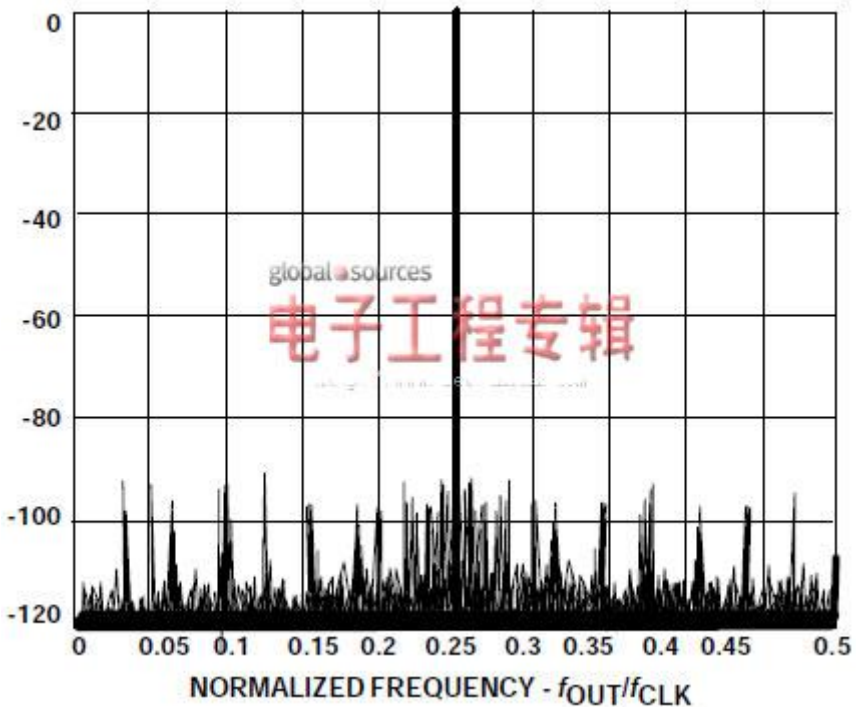


图 4：计算得出的输出频谱显示 15 位相位截断时 90 dB SFDR

DAC 的分辨率通常比查找表的宽度少 2 至 4 位。即便是完美的 N 位 DAC，也会增加输出的量化噪声。图 4 显示的是 32 位相位累加器 15 位相位截断时计算得出的输出频谱。选择 M 值后，输出频率会从 0.25 倍时钟频率开始稍有偏移。注意，相位截断和有限 DAC 分辨率产生的杂散都至少比满量程输出低 90 dB。这一性能远远超出了任何商用 12 位 DAC，足以满足大多数应用的需求。

上述基本 DDS 系统极为灵活，且具有高分辨率。只需改变 M 寄存器的内容，频率就可以立即改变，不会出现相位不连续。但是，实际 DDS 系统首先需要执行串行或字节加载序列，以将新的频率字载入内部缓冲寄存器，然后再载入 M 寄存器。这样就可以尽可能减少封装引脚数。新的频率字载入缓冲寄存器后，并行输出[△]相位寄存器就会同步操作，从而同时改变所有位。加载[△]相位缓冲寄存器所需的时钟周期数决定了输出频率的最大改变速率。

点击下一页：[DDS 系统中的混叠](#)

DDS 系统中的混叠

简单 DDS 系统中可能会产生一种重要的输出频率范围限制。奈奎斯特准则表明，时钟频率(采样速率)必须至少为输出频率的两倍。实际最高输出频率限制在约 1/3 时钟频率范围内。

图 5 所示为 DDS 系统中的 DAC 输出，其中输出频率为 30 MHz，时钟频率为 100 MHz。

如图所示，重构 DAC 后必须跟随一个抗混叠滤波器，以消除较低的图像频率($100 - 30 = 70$ MHz)。

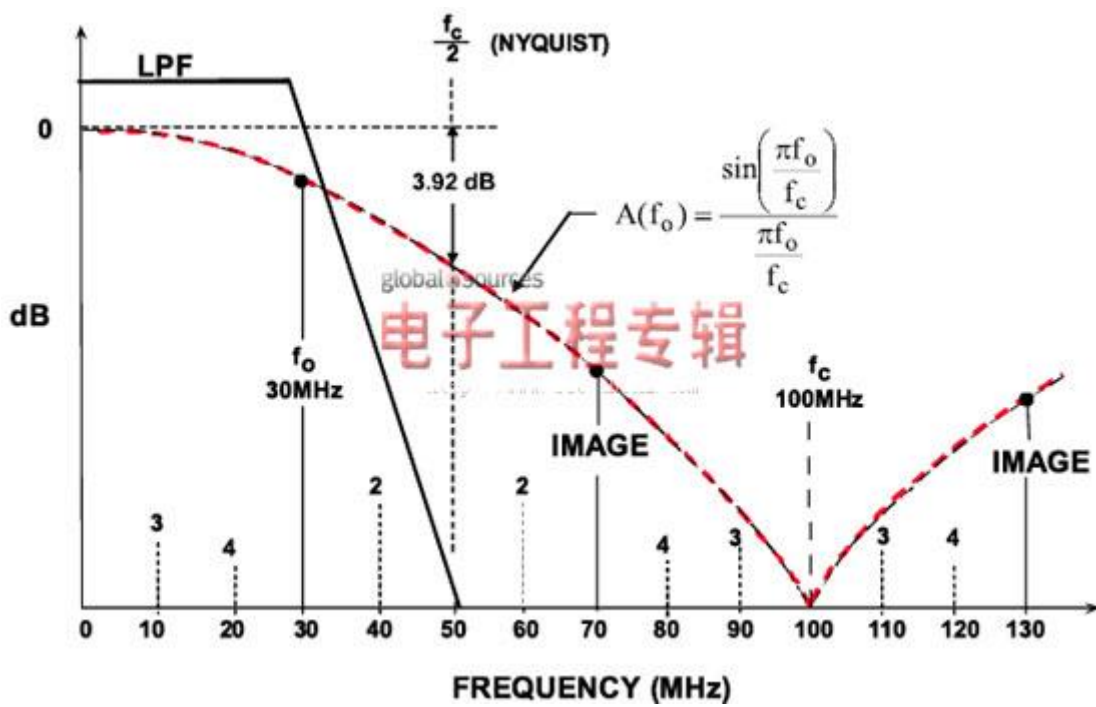


图 5 : DDS 系统中的混叠

注意，DAC 输出(滤波前)的幅度响应跟随着一个 $\sin(x)/x$ 响应，在时钟频率及其整数倍时，该值为零。归一化输出幅度 $A(f_o)$ 的精确计算公式如下：

$$A(f_o) = \frac{\sin\left(\frac{\pi f_o}{f_c}\right)}{\frac{\pi f_o}{f_c}}$$
公式 2

其中， f_o 为输出频率， f_c 为时钟频率。

出现该滚降的原因是由于 DAC 输出并非一系列零宽脉冲(和最佳重新采样器中一样)，而是一系列矩形脉冲，宽度等于更新速率的倒数。 $\sin(x)/x$ 响应的幅度比奈奎斯特频率低 3.92 dB(DAC 更新速率的 1/2)。实际上，抗混叠滤波器的传递函数可用来补偿 $\sin(x)/x$ 滚降，使整体频率响应相对平坦，达到最大输出 DAC 频率(一般为 1/3 更新速率)。

另一个重要的考虑因素在于，和基于 PLL 的系统不同，DDS 系统中的基本输出频率高阶谐波会因混叠而折回至基带。这些谐波无法通过抗混叠滤波器去除。例如，如果时钟频率为 100 MHz，输出频率为 30 MHz，则 30 MHz 的第二个谐波会出现在 60 MHz(带外)，但也会出现在 $100 - 60 = 40$ MHz(混叠成分)。同样，第三个谐波(90 MHz)会出现在带内，频率为 $100 - 90 = 10$ MHz，第四个谐波出现在 $120 - 100 = 20$ MHz。高阶谐波也会落在奈奎斯特带宽内(直流至 $f_c/2$)。前 4 个谐波的位置如图所示。

用作 ADC 时钟驱动器的 DDS 系统

DDS 系统(如 AD9850)可以提供产生 ADC 采样时钟的出色方法，尤其适合 ADC 采样频率必须受到软件控制，且锁定至系统时钟的情况(参见图 6)。DAC 输出电流 I_{out} 驱动 200Ω 、42 MHz 的低通滤波器，源和负载阻抗端接，等效负载为 100Ω 。滤波器可以消除 42 MHz 以上的杂散频率成分。经过滤波的输出可以驱动 AD9850 内部比较器的一个输入端。DAC 补

偿输出电流可以驱动 100Ω 的负载。位于两个输出之间的 $100\text{ k}\Omega$ 电阻分压器输出经过去耦，可以产生参考电压以供内部比较器使用。

比较器输出有 2 ns 的上升和下降时间，可以产生与 TTL/CMOS 逻辑电平兼容方波。比较器输出边缘的抖动小于 20 ps rms。输出和补偿输出均可按要求提供。

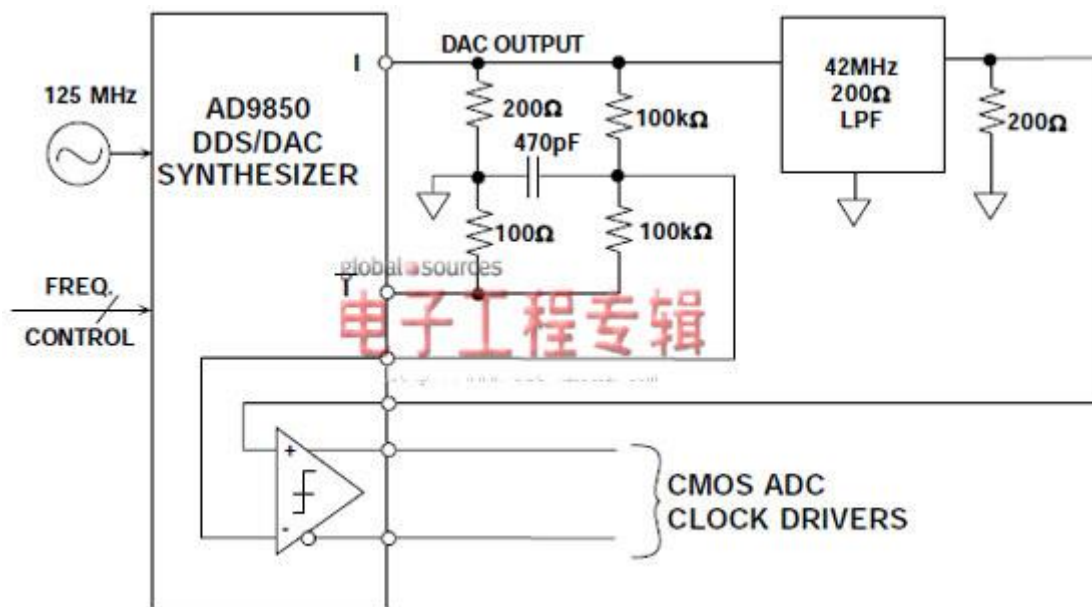


图 6：将 DDS 系统用作 ADC 时钟驱动器

在图 6 所示的电路中，40 MSPS ADC 时钟的总输出均方根抖动为 50 ps rms，由此产生的信噪比下降在宽动态范围应用中必须加以考虑。

DDS 系统中的幅度调制

DDS 系统中的幅度调制可以通过在查找表和 DAC 输入之间放置数字乘法器来实现，如图 7 所示。调制 DAC 输出幅度的另一种方法是改变 DAC 的参考电压。在 AD9850 中，内部参

考控制放大器的带宽约为 1 MHz。这种方法在输出幅度变化相对较小的情况下非常有效，只要输出信号不超过+1 V 的规格即可。

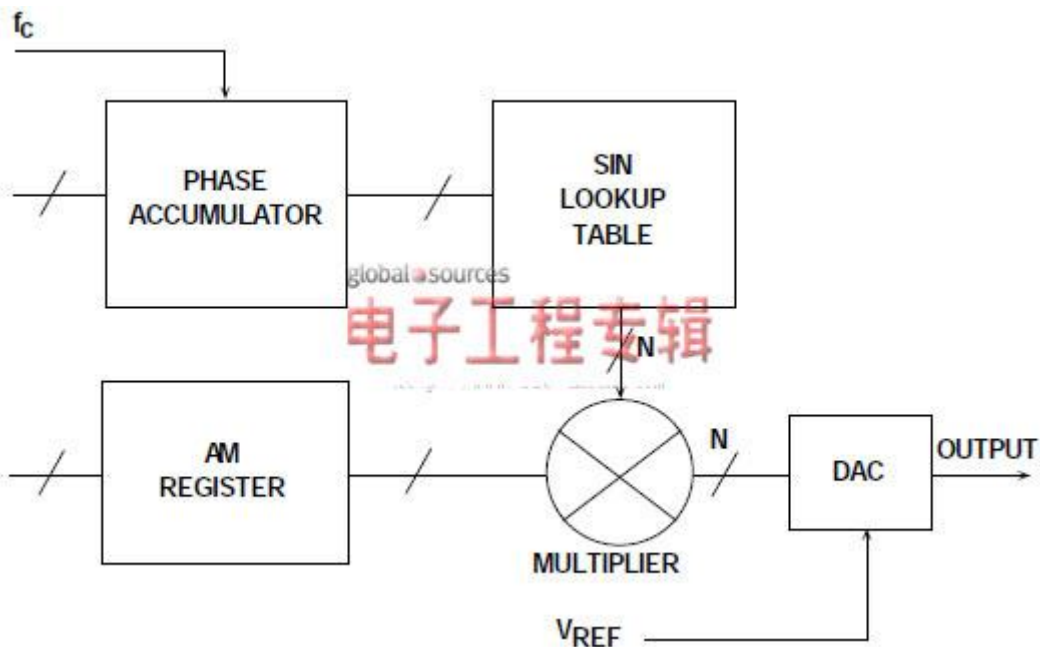


图 7 : DDS 系统中的幅度调制

DDS 系统中的无杂散动态范围考虑

在大多数 DDS 应用中，首要考虑因素是 DAC 输出的频谱纯度。遗憾的是，该性能的测量、预测和分析十分复杂，涉及大量相互作用的因素。

即便是理想的 N 位 DAC，也会在 DDS 系统中产生谐波。这些谐波的幅度主要取决于输出频率与时钟频率的比值。原因在于，DAC 量化噪声的频谱成分会随着该比值的变化而变化，虽然其理论均方根值仍等于 $q/\sqrt{12}$ (其中 q 是 LSB 的权重)。“量化噪声表现为白噪声，在奈奎斯特带宽内均匀分布”这条假设在 DDS 系统中并不适用(这条假设在 ADC 系统中更为适用，因为 ADC 会给信号增加一定的噪声，从而“扰动”量化误差或使其随机化。但是，依然存在一定的相关性)。例如，如果 DAC 输出频率精确设置为时钟频率的约数，则量化噪

声会集中在输出频率的倍数，也就是说，主要取决于信号。如果输出频率稍有失调，量化噪声会变得更加随机，从而改进有效 SFDR。

图 8 说明了上述情况，其中 4096 (4k) 点 FFT 基于理想 12 位 DAC 中数字化生成的数据计算得出。左侧图表(A)中，所选的时钟频率和输出频率的比值恰好等于 40，获得的 SFDR 约为 77 dBc。右侧图表中，比例稍有失调，有效 SFDR 增至 94 dBc。在这一理想情况下，只是略微改变了频率比，SFDR 就改变了 17 dB。

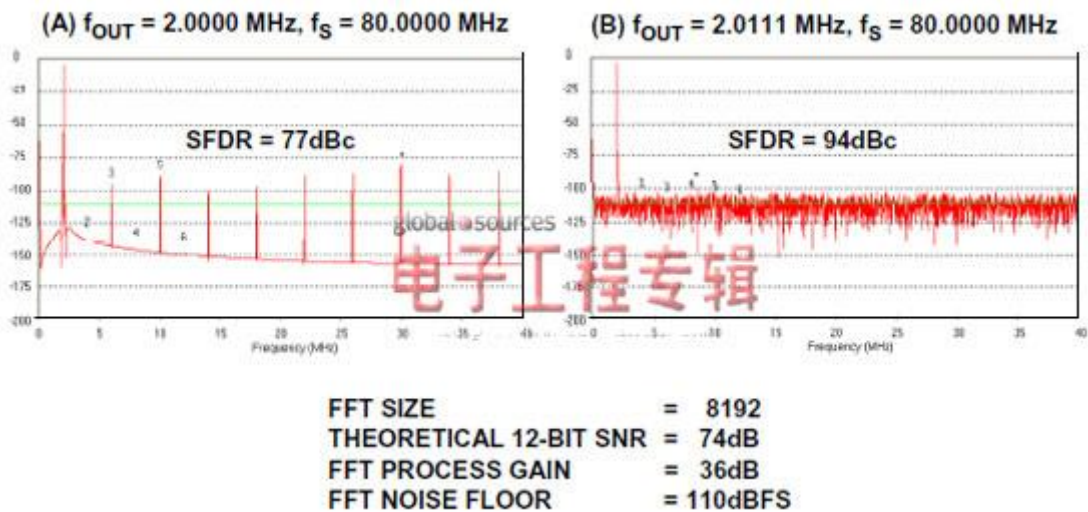


图 8：采用 4096 点 FFT 时，时钟与输出频率比值对理论 12 位 DAC SFDR 的影响

因此，通过仔细选择时钟与输出频率，就可以获得最佳 SFDR。但是，在有些应用中，这点可能难以实现。在基于 ADC 的系统中，增加少量的随机噪声至输入就可能使量化误差随机化，并且减少这种效应。DDS 系统中也可以实现同样的效果，如图 9 所示(参见参考文献 8、9、10)。伪随机数字噪声发生器输出先增加至 DDS 正弦幅度字，然后再载入 DAC。数字噪声的幅度设置为 1/2 LSB 左右。这样就能实现随机化过程，代价是整体输出本底噪声会略微增加。但是，在大多数 DDS 系统中，有足够的灵活性可以选择不同的频率比，因此不需要扰动。

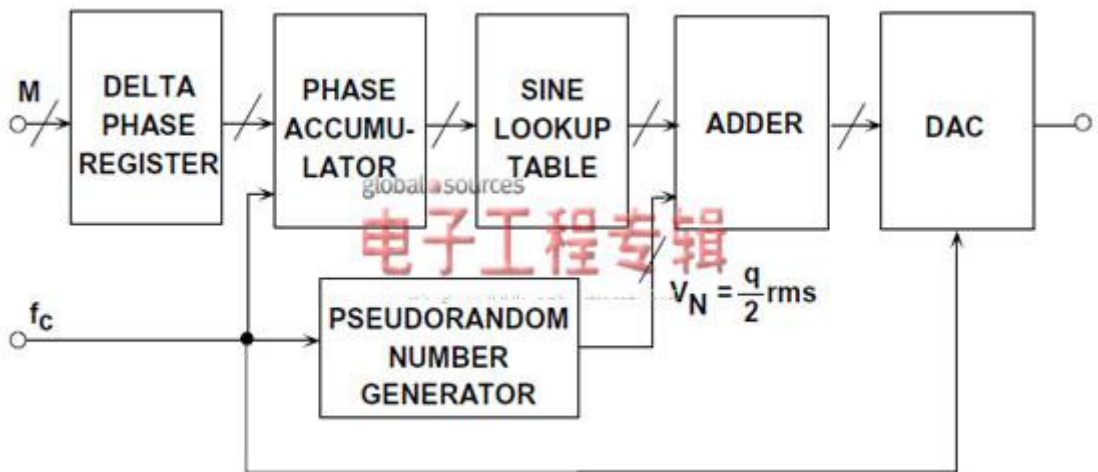


图 9：向 DDS 系统注入数字扰动以使量化噪声随机化并提高 SFDR

ADI 公司的在线设计工具 ADIsimDDS 是一种互动工具 , 可以帮助用户选择及评估 DDSIC. 它允许用户选择器件 , 输入要求的工作条件 , 以及评估器件的一般性能。该工具利用数学公式估算选定器件的整体性能 , 并不计算所有可能的误差。因此 , 这款工具只能用来辅助设计 , 而不能代替实际的硬件测试和评估。

参考文献：

1. *Ask The Application Engineer—33: All About Direct Digital Synthesis (Analog Dialogue, Vol. 38, August 30, No. 3 2004).*
2. "Single-Chip Direct Digital Synthesis vs. the Analog PLL," (*Analog Dialogue, Vol., 1996.*
3. *DDS Design, By David Brandon, EDN, May 13, 2004.*
4. *A Technical Tutorial on Digital Signal Synthesis, 1999, Analog Devices, Inc.*

5. *Direct Digital Synthesis Frequently Asked Questions*, Analog Devices, Inc.
6. David Buchanan, "Choosing DACs for Direct Digital Synthesis," Application Note AN-237, Analog Devices, Inc.
7. David Brandon, "Direct Digital Synthesizers in Clocking Applications," Application Note AN-823, Analog Devices, 2006.
8. Richard J. Kerr and Lindsay A. Weaver, "Pseudorandom Dither for Frequency Synthesis Noise," U.S. Patent 4,901,265, filed December 14, 1987, issued February 13, 1990.
9. Henry T. Nicholas, III and Henry Samueli, "An Analysis of the Output Spectrum of Direct Digital Frequency Synthesizers in the Presence of Phase-Accumulator Truncation," IEEE 41st Annual Frequency Control Symposium Digest of Papers, 1987, pp. 495-502, IEEE Publication No. CH2427-3/87/0000-495.
10. Henry T. Nicholas, III and Henry Samueli, "The Optimization of Direct Digital Frequency Synthesizer Performance in the Presence of Finite Word Length Effects," IEEE 42nd Annual Frequency Control Symposium Digest of Papers, 1988, pp. 357-363, IEEE Publication No. CH2588-2/88/0000-357.
11. ADIsimDDS design tool from Analog Devices.

- 12. Hank Zumbahlen, Basic Linear Design, Analog Devices, 2006, ISBN: 0-915550-28-1. Also available as Linear Circuit Design Handbook, Elsevier-Newnes, 2008, ISBN-10: 0750687037, ISBN-13: 978-0750687034. Chapter 4.*
- 13. Walt Kester, Analog-Digital Conversion, Analog Devices, 2004, ISBN 0-916550-27-3, Chapter 6. Also available as The Data Conversion Handbook, Elsevier/Newnes, 2005, ISBN 0-7506-7841-0, Chapter 6.*